

## 1. はじめに

東日本大震災以来、電力不足が社会問題となり本校でも節電に対する取り組みが強化されている。そのような中、節電グッズが何か作れないかと考え、待機電力をカットする装置を製作することにした。

リモコンを使用する電気製品は、常に待機電力を消費しており、家庭で消費される電力の約10%を占めるとも言われている。機械式のスイッチを使用していない機器は、コンセントからプラグを抜くことで、待機電力を完全にカットできるが、朝の出勤前に複数の家電製品のプラグを抜くのは面倒である。実際、テレビやエアコンのコンセントを毎朝抜いているという話は、ほとんど聞いた事が無い。そこで、実習で使用している PIC16F84A マイコンを利用して、実用性のあるものを作れないかと考え、複数の電気製品を1回の操作で「待機電力ゼロ」の状態にする装置を製作することにした。

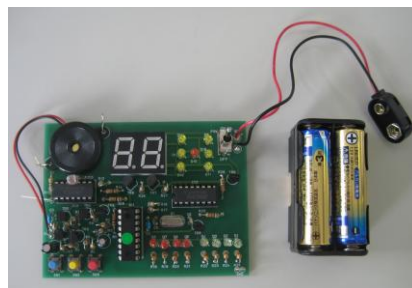


図-1 実習ボード

## 2. 製作

### 2-1 基本構想

家電製品のプラグとコンセントの間に設置した延長ケーブルの間に、リレー（a接点）を入れる。家電製品を使用する時はリレーをONにし、使用しない時（出勤前など）にはリレーを切る事で待機電力をカットする。このリレーをPICマイコンで制御し、待機電力カットの指示は無線のリモコンから行う。また、複数台の電力カット装置を1回のリモコン操作で作動させるようにする。更に、住宅密集地などでの混信を防ぐために、8ビットのディップスイッチから識別信号を作り、この識別信号自体を電力カットの指示をする信号とする。以後、この装置を「カット装置」と呼ぶ。



図-2 リモコンのイメージ

### 2-2 リモコン送信機

プッシュスイッチを押している間、PIC及びFM送信モジュールに電力が供給され、DIPスイッチによって設定された8ビットのデータがFMモジュールから送信される。

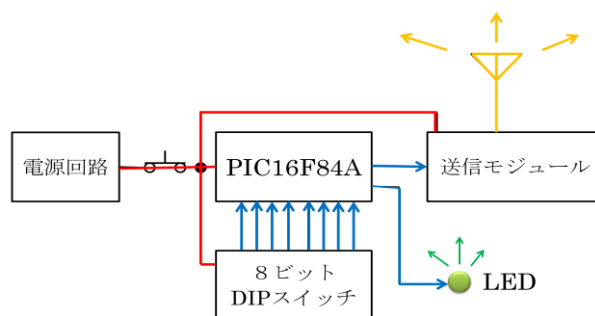


図-3 リモコン送信機(原理図)

### 2-3 カット装置

プッシュスイッチが押されるとACアダプタに電力が供給され、PICが作動。PICは、

すぐに電磁リレーに通電し、自己保持回路によって、ACアダプタへの通電を維持する。このため、プッシュスイッチは、一度押すだけで電力供給状態が保持される。この時が、接続された家電製品を使用できる状態。

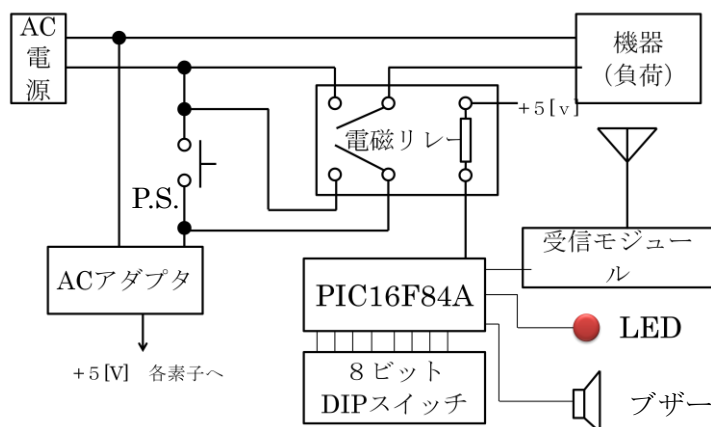


図-4 カット装置 (原理図)

次に、送信機からの停止信号を受信すると、DIPスイッチの設定と照合し、同じであればブザーを鳴らした後、電磁リレーを停止させて回路を切断する。それに伴いPICや無線モジュールへの電力も完全にカットされる。

#### 2-4 PICのプログラム

プログラム開発には、CCS社のPCWを使用し、C言語で作成した。機器停止信号の通信には、シリアルデータ通信規格のRS-232C(調歩同期式)を利用し、エラー対策として、反転2連送照合方式を用いた。PIC16F84AにはUSART機能が無い為にPCW内に用意されたrs232関数を使用しシリアル通信を行った。

送信機は、ディップスイッチから8bitのデータをBポートより読み取り、読み取ったデータと反転したデータをシリアルに無線モジュールから識別信号として送信する。

カット装置は8ビットのデータを受信し、初めに受信したものと、次に送られたものを反転したものとを比較し、同じであれば正しく受信できたと判断し、電磁リレーの電源を切る。

#### 機器停止信号(8bit)

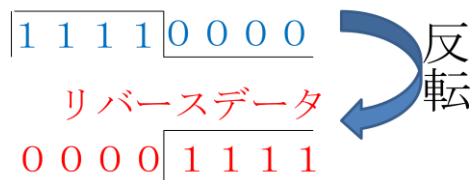


図-5 反転2連送照合方式

#### 2-5 無線モジュール

送信機 — 受信機間の通信には、RF Solution社のFM無線モジュールFMRTFQ1-315及びFMRRFQ1-315を使用した。この無線モジュールは電波を使って“0”か“1”のデジタルデータを送受信するだけの単純なもので、微弱電波を出力するため電波法にも適合している。

このモジュールの購入にはDigi-Key Corporation.の通信販売を利用した。注文には日本語を使用できるが、届け先には日本語が使えず、住所や氏名等をローマ字で入力しなければならない。また、使用目的やどの国で使うか?などの入力も求められる。



図-6 FMRTFQ1-315

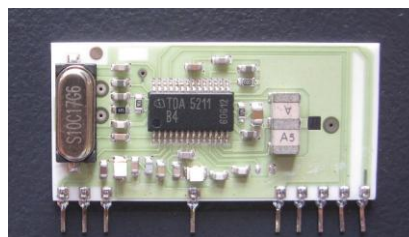


図-7 FMRRFQ1-315

料金は銀行振り込みが可能で、1回7,500円以上の注文で送料が無料になる。ちなみに7,500円未満の場合、送料は2,000円かかってしまう。

## 2-6 電源回路

リモコン送信機は、FM送信モジュールが3.3[V]動作であるため乾電池直列3本の4.5[V]から、3端子レギュレータにより3.3[V]を回路全体に供給している。

カット装置は、PIC及びFM受信モジュールに5[V]の電源が必要なため、AC100[V]の電源から、ACアダプタにより電力を供給した。このACアダプタは、不要となったゲーム機などの付属品の中から5[V]の物を選んで再利用した。そのため、今回製作した3台の受信機に使用されているACアダプタは、それぞれ形や大きさが異なる。



図-8 再利用のACアダプタ

## 2-7 基板製作

プリント基板エディタ PCBE で製作したプリントパターンを、Sunhayato 製クイックポジ感光基板に焼き付けた。その後、エッチングを行いオリジナルの基板を製作した。この時、校内にあった5年前製造の感光基板を使用したところ、フォトレジストに失敗し、回路を出すことができなかった。

(※メーカーは製造後1年以内を有効期限としている)。改めて新品を購入したところ「露光プロファイル」という説明があり、メーカーのWebサイトを確認したところ、製造から半年間は露光時間をシビアにコントロールする必要があることが分かった、指示どおりに露光を行い、無事製作する事が

できた。

穴を開けた基板にパーツを半田付けして完成。

この回路はAC100[V]を扱うため、安全のために100円ショップで購入したハガキ入れに組み込んだ。

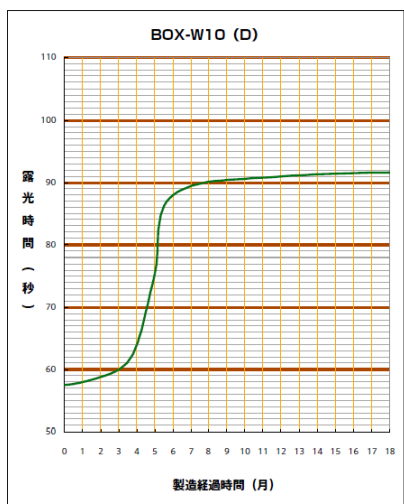


図-12 露光プロファイル

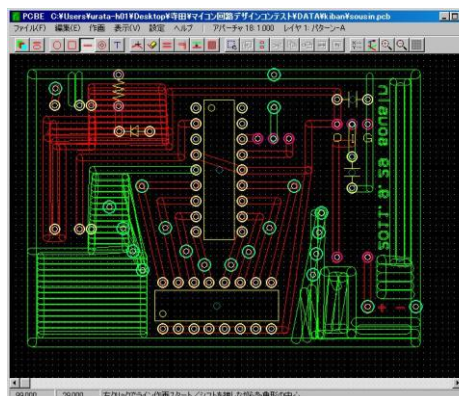


図-9 リモコン送信機 (パターン)

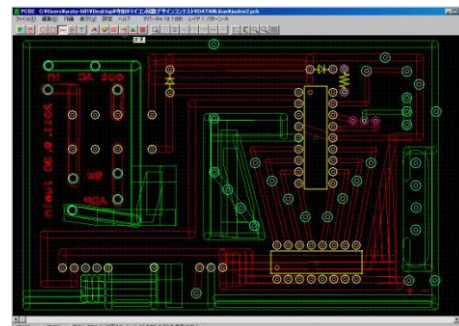


図-10 カット装置 (パターン)

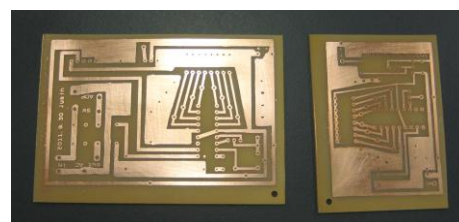


図-11 エッチング後の基板

### 3. テストと改良

完成した装置をテストしてみると、ほとんど問題無く作動したのだが、新たな問題点が浮上した。今回製作した3台のカット装置が一度のリモコン操作で同時に動くと、3台の装置が一斉にブザーを鳴らすため、故障した際、どれが壊れているのか直ぐに判断できない。回路を変更せずに、ソフトウェアのみの変更でこの問題を改善できないかと考え、各カット装置が別々の音を出せるように改良した。音の違いは、ブザーへの信号をFM音源(PWM)で行った。PIC16F84AにはPWM機能が無いため、ソフトウェアでパルス幅を調整し、ドレミの音階にした。また、同時に鳴らすと聞き分けにくくなるので1台ごとにタイミングをずらして音が鳴るようにした。また、各カット装置を共通のプログラムで動かすために、ディップスイッチの下位3bitで音階を設定できるようにした。

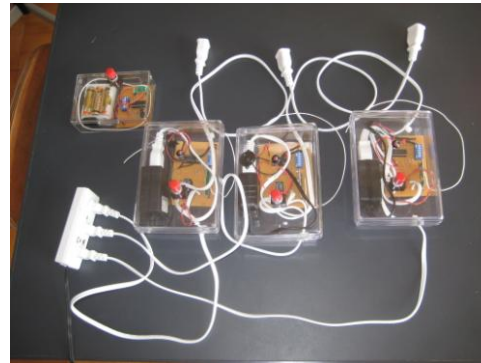


図-13 完成した装置一式

リモコン送信機の変更は全く行わず、カット装置側は受信機が受信した8bitの信号から、マスク処理により上位5ビットを識別信号として使い、ディップスイッチ上位5bitと比較して、同じであれば電源カットの動作に進む。ディップスイッチ下位3bitは、'000'の時はすぐに'ド'の音を出して電源カット。'001'時は約1秒後に'レ'の音を出して電源カット。といった具合に8通りの動作が選べるようにした。これにより、送信機では8Bit、256通りの識別信号を送信できるが、受信側では5bit、32通りしか識別できなくなってしまった。

表-1 音階と周波数

ド(低い)	261.6Hz	基本となる周波数
レ	293.7Hz	基本となる周波数の1.122倍
ミ	329.6Hz	基本となる周波数の1.260倍
ファ	349.2Hz	基本となる周波数の1.335倍
ソ	392.0Hz	基本となる周波数の1.498倍
ラ	440.0Hz	基本となる周波数の1.682倍
シ	493.9Hz	基本となる周波数の1.888倍
ド(高い)	523.3Hz	基本となる周波数の2.000倍

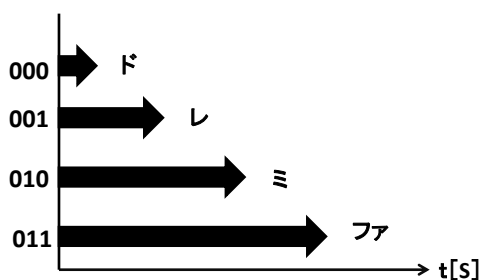


図-14 設定と作動方法

### 4. 考察

今回製作した装置がどれくらい節電できるかを考察した。規格表等による理論値は、PICマイコン50[mW]、FM受信モジュール28.5[mW]、電磁リレー150[mW]、LED20[mW]。これを合計すると0.2485[W]となり約0.25[W]消費することになる。しかし、ACアダプタに関しては、資料が無いため、これ以上理論値を出すこ

とができなかった。そこで、測定によって実測値を求める事にした。クランプメータで測定したところ、電圧値100 [V]、電流値12 [mA]、力率0.4であった。計算すると0.48 [W]となりカット装置を取り付けると約0.5 [W]余計に電力を消費することになる。しかし、一般的な家電製品の待機電力は、モデム6.6 [W]、エアコン2.4 [W]、DVDプレーヤー1.2 [W]と言われている。

DVDプレーヤーが1日に消費する待機電力は

$$1.2 [W] \times 24 [h] = 28.8 [Wh]$$

カット装置を装着すると

$$\text{スタンバイ状態} \quad 1.2 [W] + 0.5 [W] = 1.7 [W]$$

電力カット時 0 [W]

カット装置未装着時と同じだけの電力を消費するには、

$$28.8 [Wh] \div 1.7 [W] = 16.94 [h] \quad \text{約17時間となる。}$$

増加分を補うためには、

$$24 [h] - 17 [h] = 7 [h]$$

つまり、7時間以上待機電力をカット出来れば節電になる。

残念ながら、カット装置本体の消費電力が0.5 [W]となり、更なる省電力化の課題が残った。ここから、カット装置の消費電力を減らすためには、「PICのクロックを落とす」、「機械式リレーをSSRに変更する」、「PIC16F84AをnanoWatt XLPテクノロジー採用の超低消費電力PICに変更する」などが考えられる。

今回、PIC16F84Aで制御を行ったためUSARTやPWM機能を使用できなかった。しかし、短方向のシリアル通信やdelay命令を使ったPWM制御に取り組むことができた。また、参考資料も多いため、プログラムを含めてほとんど全ての作業を生徒の力だけで行うことができた。担当した生徒は、技術力や問題解決能力が身についただけでなく、節電に対する意識も向上したと思う。

#### [参考文献等]

- ・平成17年度 関東甲信越地区電気教育研究会  
川崎市立川崎総合科学高等学校 白川賢一先生発表  
「無線送受信モジュールを使ったシリアル通信制御」
- ・サンハヤト株式会社 web サイト <http://www.sunhayato.co.jp/index.php>
- ・FMRTFQ1-315 及び FMRRFQ1-315 データシート
- ・PIC16F84A Data Sheet <http://akizukidenshi.com/download/PIC16F84A.pdf>
- ・941 Series Relay <http://akizukidenshi.com/download/941H-2C-5D.pdf>
- ・音楽研究所 web サイト

[http://www.asahi-net.or.jp/~hb9t-ktd/music/Japan/Research/Genre/Tuning/tuning\\_12.html](http://www.asahi-net.or.jp/~hb9t-ktd/music/Japan/Research/Genre/Tuning/tuning_12.html)

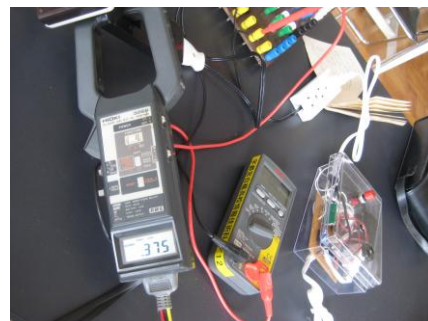


図-15 クランプメータによる実測



# カット装置プログラム

```

#include <16f84.h>
#define delay(clock=1000000) /* クロック信設定*/
#define fuses HS, NOWDT, NOPROTECT, PUT /* コンフィグレーション設定*/
#define rs232 (BAUD=4800, RCV=PIN_A3) /* 通信設定*/
#define byte port_a=5
#define byte port_b=6
#define do_low 218 /* 低いトの周波数データ*/
#define re 193 /* レの周波数データ*/
#define mi 171 /* ミの周波数データ*/
#define fa 163 /* ファの周波数データ*/
#define so 142 /* ソの周波数データ*/
#define ra 128 /* ラの周波数データ*/
#define shi 113 /* シの周波数データ*/
#define do_high 109 /* 高いトの周波数データ*/
void main() {
    int f_data, r_data, mf_data, m_port_b, s_port_b;
    int i;
    long a, x, y, z;
    char start;
    set_tris_a(0x08); /* Aポート入出力設定RA4のみ入力こR*/
    set_tris_b(0xff); /* Bポート入出力設定全て入力*/
    output_low(PIN_A2); /* RELAR*/
    output_high(PIN_A1); /* LED*/
    output_high(PIN_A0); /* SPEAKER*/

    while(1) {
        start = getc(); /* データ受信*/
        f_data = getc();
        r_data = getc();
        output_low(PIN_A1); /* リレーON*/
        if(start == 's') {
            if(f_data == (r_data)) {
                mf_data = f_data | 0x07; /* f_data マスク処理 識別信号取り出し*/
                m_port_b = port_b | 0x07; /* port_b マスク処理 識別信号取り出し*/
                s_port_b = port_b | 0xf8; /* port_bot マスク処理 音階信号取り出し*/
                if(mf_data == m_port_b) {
                    /* 受信データ, Bポート識別データ比較*/
                    /* Bポート音階データ比較*/
                    switch(s_port_b) {
                        case 0xf8: /* 000の時*/
                            x = 0; y = 1000; z = do_low; break;
                        case 0xf9: /* 001の時*/
                            x = 2000; y = 1165; z = re; break;
                        case 0xfa: /* 010の時*/
                            x = 4000; y = 1315; z = mi; break;
                        case 0xfb: /* 011の時*/
                            x = 6000; y = 1380; z = fa; break;
                        case 0xfc: /* 100の時*/
                            x = 8000; y = 1583; z = so; break;
                        case 0xfd: /* 101の時*/
                            x = 10000; y = 1761; z = ra; break;
                        case 0xfe: /* 110の時*/
                            x = 12000; y = 1992; z = shi; break;
                        case 0xff: /* 111の時*/
                            x = 14000; y = 2062; z = do_high; break;
                    }
                    output_high(PIN_A1); /* LED オフ*/
                    delay_ms(x); /* 動作待ち時間*/
                    for(a=0;a<y;a++) {
                        for(i=0;i<z;i++) {
                            output_low(PIN_A0); /* ブザー出力ON*/
                        }
                        for(i=0;i<z;i++) {
                            output_high(PIN_A0); /* ブザー出力OFF*/
                        }
                    }
                    output_low(PIN_A0); /* ブザー出力リセット*/
                    delay_ms(100); /* 動作待ち時間*/
                    output_high(PIN_A2); /* リレー出力OFF*/
                }
            }
        }
    }
}

```